

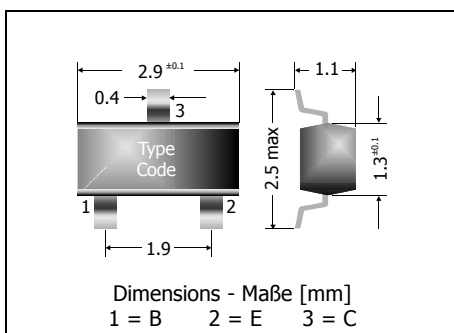
## MMBT3904

**NPN**

**Surface Mount Si-Epi-Planar Switching Transistors**  
**Si-Epi-Planar Schalttransistoren für die Oberflächenmontage**

**NPN**

Version 2006-10-17



Power dissipation – Verlustleistung

250 mW

Plastic case

SOT-23

Kunststoffgehäuse

(TO-236)

Weight approx. – Gewicht ca.

0.01 g

Plastic material has UL classification 94V-0  
Gehäusematerial UL94V-0 klassifiziertStandard packaging taped and reeled  
Standard Lieferform gegurtet auf Rolle**Maximum ratings ( $T_A = 25^\circ\text{C}$ )****Grenzwerte ( $T_A = 25^\circ\text{C}$ )**

			<b>MMBT3904</b>
Collector-Emitter-volt. – Kollektor-Emitter-Spannung	B open	$V_{CEO}$	40 V
Collector-Base-voltage – Kollektor-Basis-Spannung	E open	$V_{CBO}$	60 V
Emitter-Base-voltage – Emitter-Basis-Spannung	C open	$V_{EBO}$	6 V
Power dissipation – Verlustleistung		$P_{tot}$	250 mW <sup>1)</sup>
Collector current – Kollektorstrom (dc)	$I_C$		200 mA
Junction temperature – Sperrsichttemperatur	$T_j$		-55...+150°C
Storage temperature – Lagerungstemperatur	$T_s$		-55...+150°C

**Characteristics ( $T_j = 25^\circ\text{C}$ )****Kennwerte ( $T_j = 25^\circ\text{C}$ )**

		Min.	Typ.	Max.
DC current gain – Kollektor-Basis-Stromverhältnis <sup>2)</sup>				
$I_c = 0.1 \text{ mA}, V_{CE} = 1 \text{ V}$	$h_{FE}$	40	–	–
$I_c = 1 \text{ mA}, V_{CE} = 1 \text{ V}$	$h_{FE}$	80	–	–
$I_c = 10 \text{ mA}, V_{CE} = 1 \text{ V}$	$h_{FE}$	100	–	300
$I_c = 50 \text{ mA}, V_{CE} = 1 \text{ V}$	$h_{FE}$	60	–	–
$I_c = 100 \text{ mA}, V_{CE} = 1 \text{ V}$	$h_{FE}$	30	–	–
h-Parameters at/bei $V_{CE} = 10 \text{ V}, I_c = 1 \text{ mA}, f = 1 \text{ kHz}$				
Small signal current gain – Kleinsignal-Stromverstärkung	$h_{fe}$	100	–	400
Input impedance – Eingangs-Impedanz	$h_{ie}$	$1 \text{ k}\Omega$	–	$10 \text{ k}\Omega$
Output admittance – Ausgangs-Leitwert	$h_{oe}$	$1 \mu\text{S}$	–	$40 \mu\text{S}$
Reverse voltage transfer ratio – Spannungsrückwirkung	$h_{re}$	$0.5 \times 10^{-4}$	–	$8 \times 10^{-4}$

1) Mounted on P.C. board with  $3 \text{ mm}^2$  copper pad at each terminal  
 Montage auf Leiterplatte mit  $3 \text{ mm}^2$  Kupferbelag (Lötpad) an jedem Anschluss

2) Tested with pulses  $t_p = 300 \mu\text{s}$ , duty cycle  $\leq 2\%$  – Gemessen mit Impulsen  $t_p = 300 \mu\text{s}$ , Schaltverhältnis  $\leq 2\%$

Characteristics ( $T_j = 25^\circ\text{C}$ )Kennwerte ( $T_j = 25^\circ\text{C}$ )

		Min.	Typ.	Max.			
Collector-Emitter saturation voltage – Kollektor-Sättigungsspannung <sup>2)</sup>  I <sub>C</sub> = 10 mA, I <sub>B</sub> = 1 mA I <sub>C</sub> = 50 mA, I <sub>B</sub> = 5 mA	V <sub>CEsat</sub> V <sub>CEsat</sub>	– –	– –	0.2 V 0.3 V			
Base-Emitter saturation voltage – Basis-Sättigungsspannung <sup>2)</sup>  I <sub>C</sub> = 10 mA, I <sub>B</sub> = 1 mA I <sub>C</sub> = 50 mA, I <sub>B</sub> = 5 mA	V <sub>BEsat</sub> V <sub>BEsat</sub>	0.65 V –	– –	0.85 V 0.95 V			
Collector-Base cutoff current – Kollektor-Basis-Reststrom  V <sub>CE</sub> = 30 V, V <sub>EB</sub> = 3 V	I <sub>CBX</sub>	–	–	50 nA			
Emitter-Base cutoff current – Emitter-Basis-Reststrom  - V <sub>CE</sub> = 30 V, - V <sub>EB</sub> = 3 V	I <sub>EBV</sub>	–	–	50 nA			
Gain-Bandwidth Product – Transitfrequenz  I <sub>C</sub> = 10 mA, V <sub>CE</sub> = 20 V, f = 100 MHz	f <sub>T</sub>	300 MHz	–	–			
Collector-Base Capacitance – Kollektor-Basis-Kapazität  V <sub>CB</sub> = 5 V, I <sub>E</sub> = i <sub>e</sub> = 0, f = 1 MHz	C <sub>CBO</sub>	–	–	4 pF			
Emitter-Base Capacitance – Emitter-Basis-Kapazität  V <sub>EB</sub> = 0.5 V, I <sub>C</sub> = i <sub>c</sub> = 0, f = 1 MHz	C <sub>EBO</sub>	–	–	8 pf			
Noise figure – Rauschzahl  V <sub>CE</sub> = 5 V, I <sub>C</sub> = 1 µA, R <sub>G</sub> = 1 kΩ, f = 1 kHz	F	–	–	5 dB			
Switching times – Schaltzeiten (between 10% and 90% levels)  delay time rise time storage time fall time	V <sub>CC</sub> = 3 V, V <sub>BE</sub> = 0.5 V I <sub>C</sub> = 10 mA, I <sub>B1</sub> = 1mA V <sub>CC</sub> = 3 V, I <sub>C</sub> = 10 mA, I <sub>B1</sub> = I <sub>B2</sub> = 1 mA	t <sub>d</sub> t <sub>r</sub> t <sub>s</sub> t <sub>f</sub>	– – – –	35 ns 35 ns 200 ns 50 ns			
Thermal resistance junction to ambient air Wärmewiderstand Sperrsicht – umgebende Luft	R <sub>thA</sub>	< 200 K/W <sup>1)</sup>					
Recommended complementary PNP transistors Empfohlene komplementäre PNP-Transistoren	MMBT3906						
Marking - Stempelung	MMBT3904 = 1AM						

2 Tested with pulses t<sub>p</sub> = 300 µs, duty cycle ≤ 2% – Gemessen mit Impulsen t<sub>p</sub> = 300 µs, Schaltverhältnis ≤ 2%1 Mounted on P.C. board with 3 mm<sup>2</sup> copper pad at each terminal  
Montage auf Leiterplatte mit 3 mm<sup>2</sup> Kupferbelag (Lötpad) an jedem Anschluss